

## ЧИСЛЕННОЕ ИССЛЕДОВАНИЕ КОНВЕКТИВНОГО ДВИЖЕНИЯ В ЗАМКНУТОЙ ПОЛОСТИ

Г. З. ГЕРШУНИ, Е. М. ЖУХОВИЦКИЙ, Е. Л. ТАРУНИН

(Пермь)

Исследование тепловой конвекции в замкнутой полости представляет большой интерес в связи с проблемой теплопередачи. Задача может быть решена сравнительно просто в случае малой характерной разности температур при боковом подогреве, когда равновесие невозможно и при сколь угодно малом горизонтальном градиенте температуры возникает медленное движение. В этом случае для исследования движения можно применять метод малого параметра, основанный на разложении скорости, температуры и давления в ряды по степеням числа Грассхофа — безразмерного параметра, характеризующего интенсивность конвекции [1-4]. В рассмотренных задачах удавалось найти только два-три члена этих рядов. Найденные в этом приближении решения описывают лишь слабые нелинейные эффекты и область их применимости ограничена, естественно, небольшими значениями чисел Грассхофа (не более  $10^3$ ).

С увеличением разности температур характер движения постепенно изменяется — у границ полости формируется конвективный пограничный слой, в котором сосредоточены основные градиенты температуры и скорости; остальная часть жидкости образует ядро течения. На основании анализа уравнений движения для плоского случая Батчелор [4] высказал предположение, что ядро является изотермическим и вращается с постоянным и однородным вихрем скорости. Значение вихря скорости в ядре должно определяться как собственное число задачи о замкнутом пограничном слое. В работах [5,6] по схеме Батчелора был рассмотрен замкнутый конвективный пограничный слой в горизонтальном цилиндре и плоском вертикальном слое. С помощью интегрального метода были определены параметры пограничного слоя и вихрь скорости в ядре. Попытка аналитического решения уравнений пограничного слоя для горизонтального цилиндра методом озееновской линеаризации сделана в работе [7].

Между тем, результаты экспериментов, в которых исследовалась структура конвективного движения различных жидкостей и газов в замкнутых полостях разных форм [8-13], определенно противоречат гипотезе Батчелора. Измерения показывают, что ядро не является изотермическим; напротив, в ядре имеется постоянный вертикальный градиент температуры, направленный вверх. Далее, ядро оказывается практически неподвижным. В нем обнаруживаются попятные движения со скоростями, много меньшими скоростей в пограничном слое.

Выяснению закономерностей конвективного движения в замкнутой полости при больших разностях температур может помочь применение численных методов. В работе [14] плоская задача о стационарной конвекции воздуха в полости квадратного сечения решалась методом разложения по ортогональным полиномам. Автору удалось продвинуться в расчете лишь до значения числа Грассхофа  $G = 10^4$ . При таких значениях числа  $G$  формирование пограничного слоя и ядра еще только начинается, поэтому вывод автора о соответствии численных результатов с гипотезой Батчелора является неосновательным. К тому же, раздвоенное центральной изотермы (фиг. 3 работы [14]), на основании которого сделан вывод о формировании изотермического ядра, по видимому, является результатом недоразумения, так как изотерма такого вида явно противоречит симметрии решения.

В работе [15] методом конечных разностей получено решение задачи о сильной конвекции газа в горизонтальном цилиндре, боковые стороны которого имеют разные температуры. Согласно результатам расчета и в соответствии с экспериментальными данными [9], в полости имеется практически неподвижное ядро. Поскольку, однако, авторы исходили из уравнений конвекции в приближении пограничного слоя, они не получили детальных сведений о структуре ядра, в частности, о распределении в нем температуры.

Ниже приводятся результаты решения методом конечных разностей полной нелинейной задачи о плоском конвективном движении в полости квадратного сечения. Вертикальные границы полости поддерживаются при постоянных температурах; на горизонтальных границах температура меняется линейно. Получено распределение скорости и температуры для значений числа Грассхофа в интервале  $0 < G \leq 4 \cdot 10^5$  при значении числа Прандтля  $P = 1$ . Результаты расчета позволяют проследить за формированием замкнутого пограничного слоя и очень медленно движущегося ядра с постоянным вертикальным градиентом температуры. Найден тепловой поток через полость в зависимости от числа Грассхофа.

1. Рассмотрим плоское конвективное движение вязкой несжимаемой жидкости в длинном горизонтальном цилиндре квадратного сечения. Оси  $x$  и  $y$  выберем в плоскости сечения; ось  $x$  направим горизонтально, ось  $y$  — вертикально вверх. Температуру жидкости на вертикальной границе области  $x = 0$  примем за начало отсчета, температура на границе  $x = a$  равна  $\Theta$ ; вдоль горизонтальных границ  $y = 0$  и  $y = a$  температура изменяется линейно. Уравнения движения жидкости имеют вид

$$\frac{\partial \Delta \psi}{\partial t} + \left( \frac{\partial \psi}{\partial y} \frac{\partial \Delta \psi}{\partial x} - \frac{\partial \psi}{\partial x} \frac{\partial \Delta \psi}{\partial y} \right) = \Delta \Delta \psi - G \frac{\partial T}{\partial x} \quad \left( G = \frac{g\beta\Theta a^3}{\nu^2} \right) \quad (1.1)$$

$$\frac{\partial T}{\partial t} + \left( \frac{\partial \psi}{\partial y} \frac{\partial T}{\partial x} - \frac{\partial \psi}{\partial x} \frac{\partial T}{\partial y} \right) = \frac{1}{P} \Delta T \quad \left( P = \frac{\nu}{\chi} \right) \quad (1.2)$$

Уравнения (1.1), (1.2) для функции тока  $\psi(x, y, t)$  и температуры  $T(x, y, t)$  записаны в безразмерной форме; выбраны следующие единицы: расстояния — сторона квадрата  $a$ , времени  $a^2/\nu$ , температуры  $\Theta$ , функции тока  $\nu$ . В уравнения входят безразмерные параметры  $G$  — число Грассхофа и  $P$  — число Прандтля.

Безразмерная скорость жидкости связана с функцией тока соотношениями  $v_x = \partial\psi/\partial y$ ,  $v_y = -\partial\psi/\partial x$ ; проекция вихря скорости на ось  $z$  равна

$$(\text{rot } \mathbf{v})_z = -\Delta \psi \equiv \varphi \quad \left( \Delta = \frac{\partial^2}{\partial x^2} + \frac{\partial^2}{\partial y^2} \right) \quad (1.3)$$

На границах области скорость равна нулю и задана температура

$$\psi = \frac{\partial \psi}{\partial x} = 0, \quad T = 0 \quad \text{при } x=0; \quad \psi = \frac{\partial \psi}{\partial x} = 0, \quad T = 1 \quad \text{при } x=1 \quad (1.4)$$

$$\psi = \frac{\partial \psi}{\partial y} = 0, \quad T = x \quad \text{при } y=0, y=1$$

Уравнения (1.1)—(1.3) запишем в конечно-разностной форме, используя центральные разности для пространственных производных

$$\varphi_{i,k}^{n+1} = \varphi_{i,k}^n + \left\{ \Delta \varphi_{i,k}^n + \frac{G}{2h} (T_{i+1,k}^n - T_{i-1,k}^n) - \right. \quad (1.5)$$

$$\left. - \frac{1}{4h^2} [(\psi_{i,k+1}^n - \psi_{i,k-1}^n)(\varphi_{i+1,k}^n - \varphi_{i-1,k}^n) - (\psi_{i+1,k}^n - \psi_{i-1,k}^n)(\varphi_{i,k+1}^n - \varphi_{i,k-1}^n)] \right\} \tau$$

$$T_{i,k}^{n+1} = T_{i,k}^n + \left\{ \frac{1}{P} \Delta T_{i,k}^n - \frac{1}{4h^2} [(\psi_{i,k+1}^{n+1} - \psi_{i,k-1}^{n+1}) \times \right. \quad (1.6)$$

$$\left. \times (T_{i+1,k}^n - T_{i-1,k}^n) - (\psi_{i+1,k}^{n+1} - \psi_{i-1,k}^{n+1})(T_{i,k+1}^n - T_{i,k-1}^n) \right\} \tau$$

$$\Delta \psi_{i,k}^{n+1} = -\varphi_{i,k}^{n+1} \quad (1.7)$$

В уравнениях (1.5)—(1.7) лапласианы  $\Delta \varphi_{i,k}$ ,  $\Delta T_{i,k}$  и  $\Delta \psi_{i,k}$  определены формулой

$$\Delta f_{i,k} = \frac{1}{h^2} (f_{i+1,k} + f_{i-1,k} + f_{i,k+1} + f_{i,k-1} - 4f_{i,k})$$

и введены обозначения

$$f_{i,k}^n \equiv f(x_i, y_k, t_n), \quad t_n = n\tau \quad (n = 0, 1, 2, \dots)$$

$$x_i = ih \quad (i = 0, 1, 2, \dots, I), \quad y_k = kh \quad (k = 0, 1, 2, \dots, K)$$

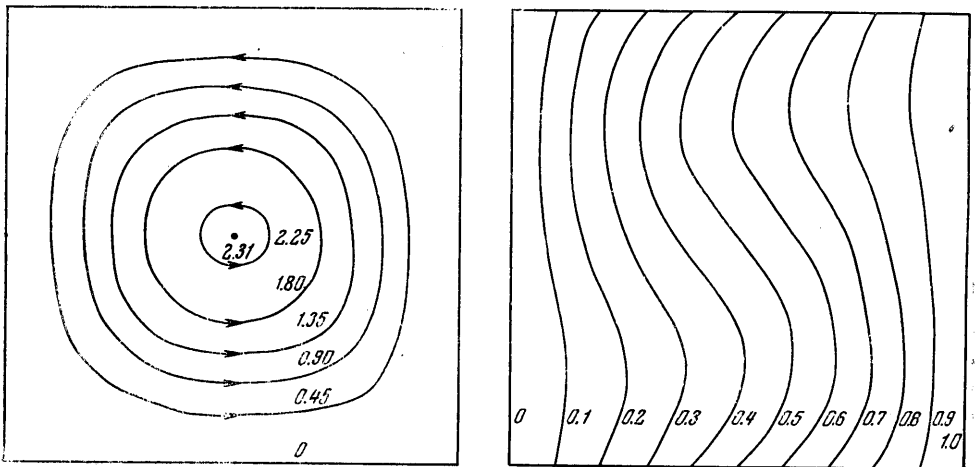
Граничные условия (1.4) в разностной форме имеют вид [16, 17]

$$\begin{aligned} \psi_{0,k}^n &= \psi_{I,k}^n = \psi_{i,0}^n = \psi_{i,K}^n = 0, & \varphi_{0,k}^n &= \frac{2}{h^2} \psi_{i,k}^n \\ \varphi_{I,k}^n &= \frac{2}{h^2} \psi_{I-1,k}^n, & \varphi_{i,0}^n &= \frac{2}{h^2} \psi_{i,1}^n, & \varphi_{i,K}^n &= \frac{2}{h^2} \psi_{i,K-1}^n \\ T_{0,k}^n &= 0, & T_{I,k}^n &= 1, & T_{i,0}^n &= T_{i,K}^n = x_i \end{aligned} \quad (1.8)$$

Разностная система (1.5)–(1.7) с граничными условиями (1.8) решается следующим образом. Величины  $\psi_{i,k}^n$  и  $T_{i,k}^n$  предполагаются в момент  $t_n$  известными для всех  $x_i, y_k$ . Тогда из уравнения (1.5) можно найти значения вихря скорости  $\varphi_{i,k}^{n+1}$  во всех внутренних узлах пространственной сетки в следующий момент времени. Решая далее уравнение Пуассона (1.7), находим  $\psi_{i,k}^{n+1}$ , а из (1.6) определяем  $T_{i,k}^{n+1}$ . После этого по формулам (1.8) определяются новые граничные значения для  $\varphi^{n+1}$  и вся процедура повторяется для следующего момента времени. Уравнение Пуассона на каждом шаге по времени решалось методом итераций Либмана.

Вычисления производились с квадратной сеткой  $h = 1/15$ . Были проведены также некоторые проверочные вычисления с более мелкой сеткой  $h = 1/25$ . Шаг по времени  $\tau$  выбирался из условия устойчивости счета; программа предусматривала также автоматическое изменение  $\tau$  в процессе вычислений. Стационарное решение получалось в процессе установления и не зависело от начального распределения функции тока и температуры. Получены стационарные решения для 25 разных значений числа Грассхофа в интервале  $0 < G \leq 4 \cdot 10^3$  при  $P = 1$ . Все расчеты проведены на ЭВЦМ «Арагац» в Вычислительном центре Пермского университета.

2. На фиг. 1–5 представлены функции тока (а) и изотермы (б) для некоторых значений числа Грассхофа. При слабой конвекции траектории частиц жидкости в центральной части полости близки к круговым, а изотермы искривлены медленным конвективным движением (фиг. 1;  $G = 2 \cdot 10^3$ ). С ростом  $G$  намечается тенденция к образованию пограничного слоя и изотермы принимают S-образную форму. На фиг. 2, б ( $G = 14 \cdot 10^3$ ) отчетливо видно зарождение центральной области с относительно малым градиентом температуры.

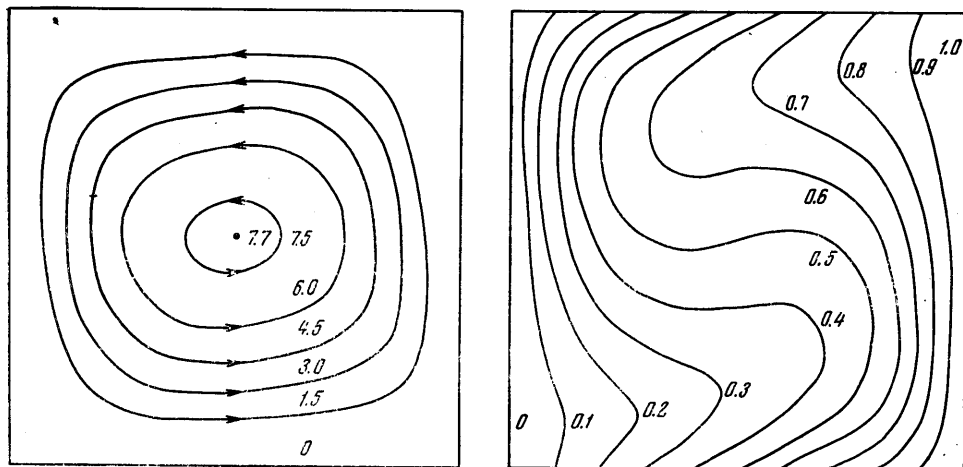


Фиг. 1

 $G = 2 \cdot 10^3$ 

Фиг. 3–5 ( $G$  равно соответственно  $80 \cdot 10^3$ ;  $200 \cdot 10^3$ ;  $400 \cdot 10^3$ ) позволяют проследить за дальнейшим формированием пограничного слоя и ядра течения по мере увеличения числа Грассхофа. Скорости в ядре оказываются гораздо меньшими, чем в пограничном слое, и образуется пара вихрей с медленным попятным движением. Полученная картина движения очень близка к экспериментальным результатам работы [13], в которой приведены траектории частиц жидкости в полости квадратного сечения. На фиг. 6 приводятся распределения продольной скорости вдоль горизонтального ( $k = 9$ ) и вертикального ( $i = 7$ ) разрезов для случая развитого пограничного слоя ( $G = 4 \cdot 10^5$ ). Как видно, пограничный слой возле вертикальных границ полости выражен особенно резко.

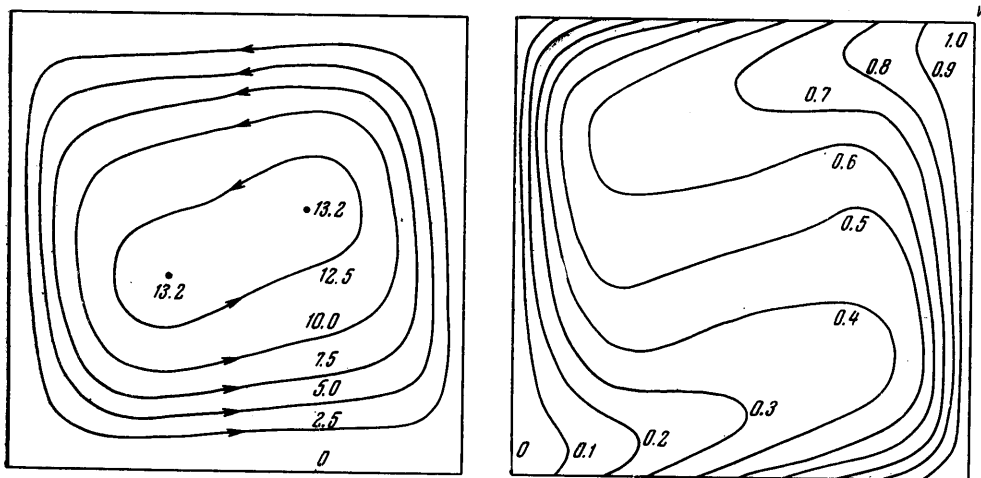
На фиг. 3, б — 5, б видно, что с увеличением числа  $G$  в центре полости образуется и увеличивается в размерах область с постоянным вертикальным (направленным вверх) градиентом температуры. Этот градиент температуры в ядре гораздо меньше градиента в пограничном слое, однако ядро нельзя считать изотермическим, так как величина градиента температуры в нем порядка  $\Theta/a$ .



Фиг. 2

 $G=14 \cdot 10^3$ 

Абсолютная величина градиента температуры в центре полости  $A$  и угол  $\alpha$ , составленный вектором  $A$  с горизонтальной осью  $x$ , приводятся на фиг. 7, а, б. Из графиков видно, что с ростом  $G$  градиент  $A$ , поворачиваясь, становится вертикальным и при  $G > 2 \cdot 10^4$  его величина практически стабилизируется около значения 0.8 (в единицах  $\Theta/a$ ).

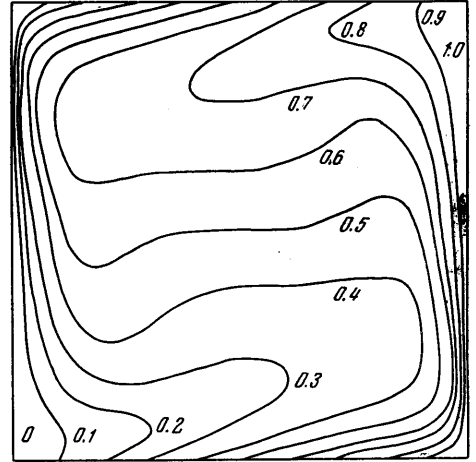
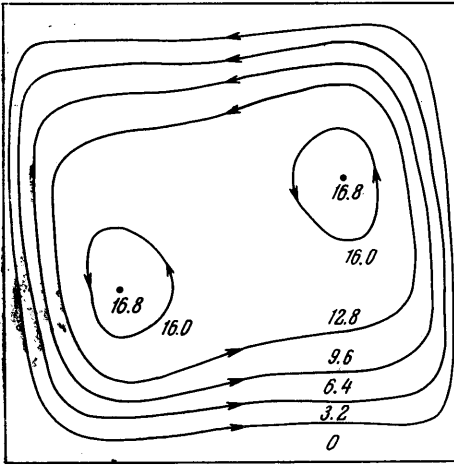


Фиг. 3

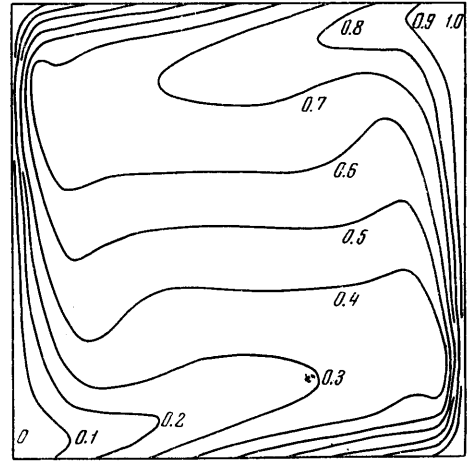
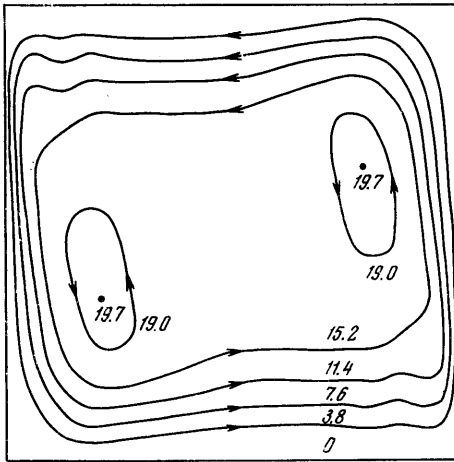
 $G=80 \cdot 10^3$ 

Заметим, что формирование ядра с вертикальным однородным градиентом температуры тесно связано с отсутствием в ядре заметных движений. В самом деле, уравнения Навье — Стокса и теплопроводности, как легко видеть, удовлетворяются при  $v = 0$ ,  $T = A \gamma$  ( $A = \text{const}$ ,  $\gamma$  — единичный вертикальный вектор).

Результаты расчета поля температур показывают, что при всех значениях числа Грассхофа  $G$  поток тепла направлен к жидкости на нагретой вертикальной границе  $x = a$  и на нижней горизонтальной границе



Фиг. 4

 $G=200 \cdot 10^3$ 

Фиг. 5

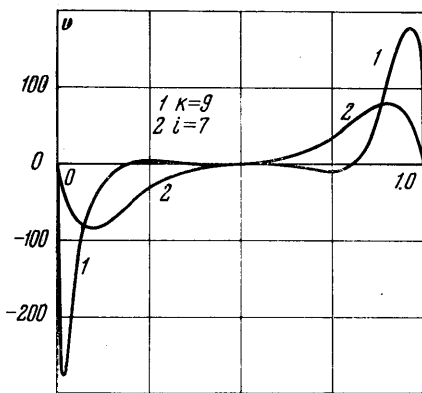
 $G=400 \cdot 10^3$ 

$y = 0$ ; через два других участка границы тепло передается от жидкости к окружающей среде. Полный тепловой поток через полость (на единицу длины вдоль оси  $z$ ) равен

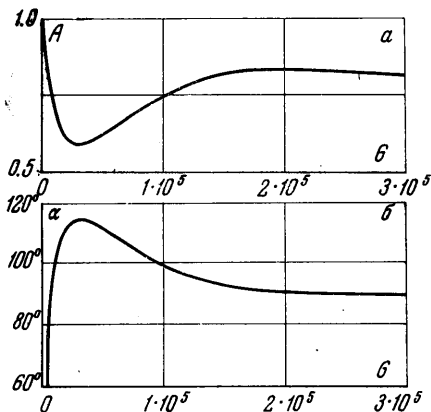
$$Q = -\kappa \int_{\Gamma} \left( \frac{\partial T}{\partial n} \right)_{\Gamma} dl \quad (2.1)$$

Здесь  $T$  — размерная температура,  $n$  — нормаль к границе. Интегрирование в (2.1) производится по двум участкам границы  $x = a$  и  $y = 0$ . Тепловой поток  $Q$  можно характеризовать безразмерным числом Нуссельта  $N = Q/\kappa\Theta$ . Представляет интерес также тепловой поток через вертикальную границу  $Q_h$ ; соответствующее число Нуссельта

$$N_h = \frac{Q_h}{\kappa\Theta} = -\frac{1}{\Theta} \int_0^a \left( \frac{\partial T}{\partial x} \right)_{y=a} dy \quad (2.2)$$



Фиг. 6



Фиг. 7

Зависимость  $N$  и  $N_h$  от  $G$  дана на фиг. 8; здесь же изображены пунктиром значения  $N_h$ , полученные в работе [14] для несколько иного значения числа Прандтля ( $P = 0.73$ ) методом разложения по ортогональным полиномам.

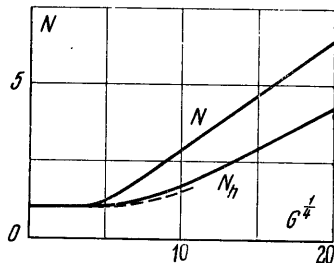
При малых значениях числа Грассхофа ( $G < 10^3$ ) имеют место зависимости

$$N = 1 + 3.25 \cdot 10^{-4} G, \quad N_h = 1 + 5.15 \cdot 10^{-8} G^2 \quad (2.3)$$

В формулах (2.3) член, линейный по  $G$  в выражении для  $N$ , и квадратичный по  $G$  в выражении для  $N_h$  описывают конвективные добавки к молекулярному потоку тепла при слабой конвекции.

При больших значениях  $G$  имеет место характерная для ламинарного пограничного слоя линейная зависимость безразмерных коэффициентов теплопередачи  $N$  и  $N_h$  от  $G^{1/4}$ ; угловые коэффициенты предельных прямых равны соответственно 0.37 и 0.28.

Приведенные выше стационарные результаты относятся к интервалу значений числа Грассхофа  $0 < G \leq 4 \cdot 10^6$ . При  $G > 4 \cdot 10^6$  численные расчеты не приводят к стационарным решениям: после стадии переходного режима устанавливаются стационарные колебания, при которых функция тока и температура, а также все параметры решения — градиент температуры в ядре, число Нуссельта и т. д. — осциллируют около некоторых средних значений, причем частота этих осцилляций растет с увеличением  $G$ . Появление этих колебаний, возможно, обусловлено возникновением мелкомасштабных движений, не разрешаемых сеткой. Не исключено, однако, что эти колебания связаны с физическими причинами — образованием при больших  $G$  в пограничном слое бегущих волн. Такие волны экспериментально наблюдались в работах [12, 18, 19].



Фиг. 8

Поступило 4 IV 1966

#### ЛИТЕРАТУРА

1. Шапошников И. Г. К теории слабой конвекции. ЖТФ, 1952, т. 22, вып. 5.
2. Жуховицкий Е. М. О свободной стационарной конвекции в бесконечной горизонтальной трубе. ЖТФ, 1952, т. 22, вып. 5.
3. Драхлин Е. Х. О тепловой конвекции в сферической полости. ЖТФ, 1952, т. 22, вып. 5.

4. Batchelor G. K. Heat transfer by free convection across a closed cavity between vertical boundaries at different temperatures. *Quart. Appl. Math.*, 1954, vol. 12, 3.
  5. Гершуни Г. З., Жуховицкий Е. М. Замкнутый конвективный пограничный слой. Докл. АН СССР, 1959, т. 124, № 2.
  6. Гершуни Г. З., Жуховицкий Е. М. О теплопередаче через вертикальную щель прямоугольного сечения при сильной конвекции. *Инж.-физ. ж.*, 1960, т. 3, № 12.
  7. Weinbaum S. Natural convection in a horizontal circular cylinder. *J. Fluid Mech.*, 1964, vol. 18, p. 409.
  8. Шайдуров Г. Ф. О конвективном теплопереносе через шаровую полость. *ЖТФ*, 1958, т. 28, № 4.
  9. Martini W. R., Churchill S. W. Natural convection inside a horizontal circular cylinder. *A. I. Ch. E. J.*, 1960, vol. 6, p. 251.
  10. Сорокин М. П. Свободная конвекция жидкости в полости, происходящая в условиях пограничного слоя. *Инж.-физ. ж.*, 1961, т. 4, № 8.
  11. Eskert E. R. G., Carlson W. O. Natural convection in an air layer enclosed between two vertical plates with different temperature. *Int. J. Heat Mass Transfer*, 1961, vol. 2, 1-2.
  12. Mordchelles-Regnier G. Convection naturelle en espace confine. *Entropie*, 1965, 1, p. 19.
  13. Elder J. W. Laminar free convection in a vertical slot. *J. Fluid Mech.*, 1965, vol. 23, part 1, p. 77.
  14. Roots G. Heat transfer by laminar free convection in enclosed plane gas layers. *Quart. J. Mech. Appl. Math.*, 1958, vol. 11, p. 257.
  15. Hellums J. D., Churchill S. W. Computation of natural convection by finite difference methods. *Int. Develop. Heat Transfer*, 1961, part 5, p. 985.
  16. Том А., Эйплт К. Числовые расчеты полей в технике и физике. «Энергия», 1964.
  17. Симуни Л. М. Численное решение некоторых задач движения вязкой жидкости. *Инж. ж.*, 1964, т. 14, № 3.
  18. Шайдуров Г. Ф. Устойчивость конвективного пограничного слоя в жидкости, заполняющей горизонтальный цилиндр. *Инж.-физ. ж.*, 1964, т. 2, № 12.
  19. Elder J. W. Turbulent free convection in a vertical slot. *J. Fluid Mech.*, 1965, vol. 23, part 1, p. 99.
-